

ODREĐIVANJE PARAMETARA TOKA FLUIDA U MODELIMA KRVNIH SUDOVA RAZLIČITOG OBЛИKA

Slavica Ristić, VTI Beograd
Jelena Ilić, Mašinski fakultet u Beogradu
Miša Mladenović, Elektrotehnički fakultet u Beogradu

Sadržaj - U radu se teorijski i eksperimentalno razmatra primena LDA merenja brzine strujanja u različitim modelima krvnih sudova. Određeni su parametri toka fluida, koji se prema teoriji sličnosti mogu primeniti u istraživanju i dijagnostici oboljenja krvnih sudova ili u kreiranju veštackih.

1. UVOD

Laserska Doppler Anemometrija (LDA) omogućava beskontaktno i vrlo efikasno merenje lokalne brzine u toku fluida [1], [2], [3]. Ako se ostvari geometrijska sličnost modela i krvnog suda i sličnost strujnih linija ili pritisaka u odgovarajućim tačkama, eksperimentalni rezultati merenja na modelima postaju primenivi na istraživanja fizioloških karakteristika strujanja krvi u krvnim sudovima. Sakupljanje lokalnih podataka može do do detaljnog slika laminarnog ili turbulentnog kretanja fluida.

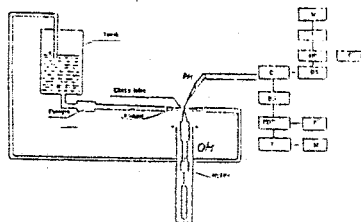
LDA ima nekoliko aspekata. Prvi se odnosi na nalaženje veze između parametara sredine i rasejanog zračenja i razvoj optimalnih rešenja za formiranje, transformaciju i obradu optičkih signala i interpretaciju rezultata. Drugi podrazumeva stvaranje etalonских uređaja za merenje Dopplerovog pomjera frekvencije. Konačno, zbog statističkog karaktera merenja neophodno je nalaženje srednjih vrednosti i disperzije parametara. Svaki pojedinačni praktični problem zahteva adekvatnu LDA konfiguraciju i postojanje centra rasejanja u pražnjenom fluidu. Mogu se meriti jedna, dve ili tri komponente strujanja, nivo turbulentnosti, kao i dimenzije i oblik čestica koje rasejavaju svjetlost.

LDA sistemi se koriste u različitim oblastima nauke i tehnike. Najčešće nalaze primenu u aero i vodenim tunelima i u ispitivanju strujanja oko modela ili plavnih objekata u eksploracionim uslovima. Ali se takođe koriste i u drugim oblastima metrologije, zatim, u medicini, biologiji, ekologiji, meteorologiji, astronomiji, dinamici fluida, kod ispitivanja plamena mlaznika itd.

U eksperimentu su za modele korišćene staklene cevi pogodnih oblika. Za normalni krvni sud, kao model je korišćena cilindrična cev (prava ili sa krivionom- jednostrukom ili dvostrukom). Kao modeli obolelih krvnih sudova korišćeni su: cilindrična cev sa umetnutom preprekom (model ateroma) i cev sa jednom ili dva proširenja (model aneurizme). Unutrošnji prečnik ovih cevi (van proširenja) iznosi 16mm što odgovara, približno, uobičajenom prečniku humane aorte. [4]

2. STRUKTURA LDA SISTEMA I EKSPERIMENT

Merenja su vršeno jednokomponentnim LDA sistemom (1D LDA) čija je šema prikazana na sl.1. Na sl.2 prikazani su stakleni modeli krvnih sudova. Strujanje obezbeđuje rezervoar sa vodom i pumpom. Kao centri rasejanja služe mehurići vozduha.



Sl.1. Eksperimentalna konfiguracija 1D LDA sistema

Izvor svjetlosti je He-Ne laser (15mW , $\lambda=633\text{nm}$, „Spectra Physics“). Pomoću optičkog modula OM (DANTEC) laserski snop se razdvaja na dva dela i ponovo fokusira na mernu zapreminu. Osnovne komponente [5] ovog modula su: zaštitni poklopac sa $1/4$ pločicom, optika za podešavanje širine laserskog snopa, delitelj snopa, optički sistem za translaciiju snopa i prednjaja optika. Za rad se ponekad koristi i tehnika rasejanja unazad tzv. „back scatter“ mod, i tada optičkom modulu treba dodati polupropusno ogledalo i prostorni filter i prijemnu optiku. PM je fotomultiplikatorska cev sa pripadajućom optikom, interferencijonim i prostornim filtrima. Centri rasejanja moraju da imaju prečnik veći od $0,5\text{mm}$, da bi se izbegao uticaj Brownovog kretanja na Dopplerovu frekvenciju, a istovremeno on mora biti manji od 3mm radi vernog praćenja strujnog toka.

Da bi se postiglo potrebna sličnost sa protokom krvi kroz krvni sud, brzina strujanja vode, uz jednu dimenziju modela i krvnog suda, mora biti tri puta manja od brzine strujanja krvi, čime se ostvaruje isti Reynoldsov broj.

3. KRATAK TEORIJSKI OSVRT

Rasejana svjetlost, teorijski, može biti detektovana pod bilo kojim ugлом u prostoru. Dopplerova frekvencija ne zavisi od ugla rasejanja, temperature i

gustine fluida. Indikatrica rasejanja daje prostornu raspodelu snage rasejanog zračenja. Na osnovu relativne dimenzije čestica $\rho = 2\pi\lambda$, gde je α dijametar čestice, a λ talasna dužina upadnog zračenja. Rasejanje na steni, otkiči homogenim česticima je opisano Mieovom teorijom rasejanja [3]. Prema ovoj teoriji indikatrica rasejanja ima složenu zavisnost od ugla posmatranja, pri čemu se ona usložnjava sa povećanjem dimenzije α i tada se povećava rasejanje u smeru upadnog zračenja, a smanjuje u suprotnom. Na osnovu zavisnosti faktora efikasnosti rasejanja Q ($Q=0/\alpha^2$, σ - totalni presek rasejanja) od relativne dimenzije čestica, zaključuje se da čestice nejfikasnije rasejavaju kada im je radijus reda veličine talasne dužine zračenja. Obično iz praktičnih razloga nije moguće ostvariti ugao $\theta = 0^\circ$, pa se fotodetektor postavlja pod različitim uglovima, tj. bira optimalni [6].

Signal sa fotodetektora dolazi na brojač C u kome se vrši primarna obrada signala. Na osnovu zadatih parametara na pojedinih modulima brojač selektuju se signali po frekvenciji i amplitudi. Zatim se preko buffer interfejsa BI podaci prosledjuju u računar. Rezultati se prikazuju u obliku histograma ili u obliku izmerenog signala u vremenskom domenu.

Srednja brzina strujanja i nivo turbulencije su osnovni parametri koji karakterišu svako strujanje. Za stacionarno strujanje tečnosti kroz cev konstantnog prečnika može se teorijski odrediti profil brzine, tj. raspodela brzine $V(r)$, korišćenjem Navier-Stokesovih jednačina. Ako se ova cevi poklapa sa x -osom, brzina tečnosti V orientisana je po x -osi i zavisi samo od y i z

koordinate pod uslovom da je $\frac{dP}{dx} = -\frac{\Delta P}{l} = \text{const}$,

ΔP je razlika pritisaka na krajevima cevi dužine l .

Kako je $\frac{\partial P}{\partial y} = \frac{\partial P}{\partial z} = 0$, Navier-Stokesova jednačina

se svedi na:

$$\frac{\partial^2 V}{\partial y^2} + \frac{\partial^2 V}{\partial z^2} = \frac{1}{\mu} \frac{dP}{dx} \quad (1)$$

odnosno u polarnim koordinatama:

$$\frac{1}{r} \frac{d}{dr} \left(r \frac{dV}{dr} \right) = - \frac{\Delta P}{\mu l} \quad (2)$$

čijim se rešavanjem dobija:

$$V = \frac{\Delta P}{4\mu l} (R^2 - r^2) \quad (3)$$

U konkretnom eksperimentu izmereni su ΔP i l pri čemu je $\Delta P = 18,1 \text{ Pa}$, $\mu = 1,75 \cdot 10^{-3} \text{ Ns/m}^2$, $l = 0,15 \text{ m}$, $R = 18 \text{ mm}$. Dakle profil brzine ima paraboličnu zavisnost rastojanja od sredine cevi.

Eksperimentalno se brzina centra rasejanja određuje kao $V_c = C_d \cdot \alpha$, gde je C kalibraciono

konstanta 1D LDA sistema i iznosi $C = 7/2 \sin \frac{\alpha}{2}$, pri

čemu je α ugao pod kojim se presecoju snopovi u mernoj zapremini, a C_d je Dopplerov frekventni pomerač u rasejane svetlosti. Za određivanje prave vrednosti srednje brzine, zbog uticaja slučajnih signalni u sumovanje treba vršiti što veći broj merenja. U ovom eksperimentu merenje i obrada sa PDP sistemom su rađeni na osnovu 10 blokova, odnosno 2048 signala.

Turbulencije su ocenjene na osnovu srednjeg kvadratnog odstupanja brzine:

$$RMS = \sqrt{\frac{1}{N} \sum_{i=1}^N |\Delta V_i|^2}, \quad |\Delta V_i| = |V_{\text{sig}} - V_i| \quad (4)$$

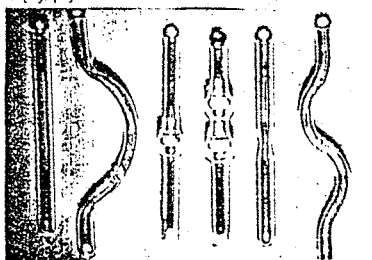
Tada je nivo turbulencije :

$$T_u(\%) = \frac{RMS}{V_{sr}} \cdot 100 \quad (5)$$

Mogućnost nastajanja turbulencija u modelima krvnih sudova je od značaja, jer one u krvotoku povećavaju rizik stvaranje trombi. Kritična konfiguracija za nastajanje turbulencije je grananje širokog krvnog suda, gde se već pri $R=200$ javljuje turbulencije. Karakterističan primer je grananje artef abduinolisa na levu i desnu illioce communalis, gde pojava tromba sprečava dovod krvi u donje ekstremitete.

4. REZULTATI MERENJA I DISKUSIJA

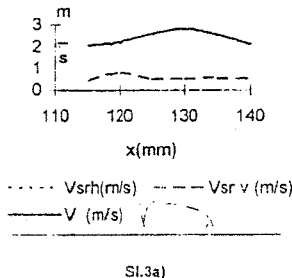
Na slici 2. su prikazane cevi koje su korištene kao modeli krvnih sudova. Načinjeno su od kvartnog stakla, a naša saznanja su pokazala da je od većeg interesa za buduća ispitivanja korištiti cevi od prozračnog elastičnog materijala kako bi se obezbedio maksimalna sličnost sa pripodom krvnih sudova [7], [8].



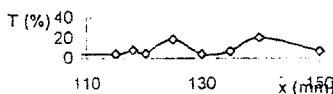
Slika 2. Staklene cevi korištene kao modeli krvnih sudova.

Rezultati merenja toka fluida oko prepreke u cilindričnoj cevi konstantnog prečnika, prikazani su na slici 3. Na slici 3a) su uporedo date srednje vrednosti horizontalne komponente (gusto isprekidana linija- $V_{x,av}$), vertikalne komponente (ređe isprekidana linija- $V_{y,av}$) i vektora brzine (puna linija- V). Dijagram koji prikazuje nivo turbulencije (slika 3b) se odnosi na horizontalnu komponentu, a nivo ukupne turbulencije je još viši.

Ovi rezultati ilustruju kretanje krvi u okolini ateroma i ukazuju na eventualne posledice izmenjenog protoka krvi usled promena na krvnim sudovima, kao i na mesto povećanja turbulentcije na kojima je povećan rizik nastajanja tromba (sl.3b).

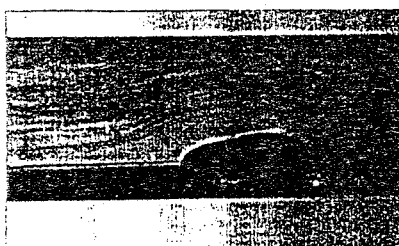


Sl.3a)



Sl.3b) Nivo turbulentcije horizontalne komponente brzine

Na slici 4. je fotografija sa snimljenim efektima vizualizacije strujanja oko prepreke. Vizualizacija je vršena ubacivanjem rastvora aerozilskih boja ili mehurića vazduha uzvodno od merne zapremine.

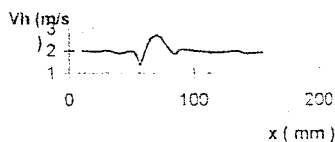


Sl.4. Vizualizacija strujanja fluida oko prepreke

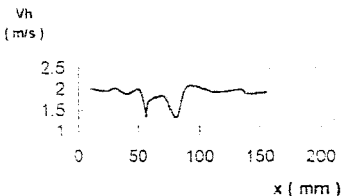
Još jedan primer je vrlo ilustrativan. To je slučaj cevi sa proširenjem koje modeluje aneurizmu. Ispitivanje karakteristike strujanja je ograničeno na merenje komponente brzine strujanja paralelnu sa x osom (horizontalna komponenta). Postoji više faktora koji utiču na tačnost izmerenih rezultata. Pre svega, treba naglasiti složenost strujanja u predelu početka i kraja proširenja i formiranje turbulentnih džepova u

bлизини zidova cevi zbog velikog ugla skretanja struje fluida. Rezultati merenja prikazani na slici 5a) se odnose na tačke duž ose cevi sa proširenjem. U predelu proširenja, na dužini između 60 i 80mm, dolazi do povećanja brzine umesto smanjenja, što bi se realno očekivalo na osnovu jednačine kontinuiteta. Paradoksalne vrednosti su delimično rezultat uticaja zakrivljenosti zidova cevi, koji u predelu proširenja utiču na promene kalibracione konstante sistema. Zakrivljeni stakleni zidovi menjaju pravac prostiranja laserskih snopova i otežavaju preciznu lokaciju mere zapremeine. Takođe se menja i ugao presecaanja snopova. Na osnovu literature [9] unešene su korekcije izmerenih vrednosti, a dobijeni rezultati su prikazani na slici 5b). Očigledno je da u predelu proširenja dolazi do smanjenja brzine (tu je oko 1,8 m/s umesto oko 2m/s što predstavlja brzinu u predelu sa konstantnim prečnikom), međutim ne u očekivanim iznosima. To upućuje na zaključak da je stvarno proširenje strujica manje od prečirenja same cevi, zbog složenosti strujanja i stvaranja mrtvih zona, naročito na bočnim delovima početka proširenja. U ovom predelu je nivo turbulentcije takođe povećan.

a) Izmerene vrednosti horizontalne komponente brzine duž ose cevi



b) Korisnjene vrednosti horizontalne komponente brzine duž ose cevi



Sl.5.

Da je uvedena korekcija izmerenih rezultata od bitnog značaja, pokazuje i slika 6. Izmerene vrednosti srednje brzine po najvećem poprečnom preseku proširenja, u zavisnosti od rastojanja od ose cevi, su predstavljene isprekidanim linijama. Korisnjeni rezultati, prikazani krstićima na sl.6., se skoro idealno poklapaju sa očekivanim Poiseille-ovom raspodelom,

koja je prikazana punom linijom. Nekorigovane vrednosti V_r odstupaju od nje i do 30%.

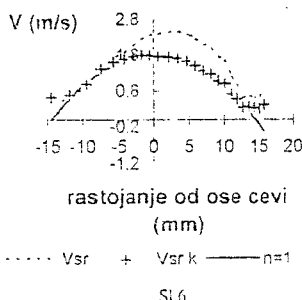
5. ZAKLJUČAK

Ispitivanja, čiji su rezultati prikazani u ovom radu, su preliminarna ispitivanja koja obuhvataju veoma kompleksan problem. Pokazalo se da karakterizacija strujanja u modelima krvnih sudova može dati veoma korisne informacije o strujanju u krvnim sudovima ili u sistemima gde postoji promena konfiguracije osnovne cevi.

Dobijeni rezultati mogu se koristiti za modeliranje veštačkih krvnih sudova, odnosno umeraka.

Sledeća etapa obuhvata merenja strujnih parametara u cevima koje će biti, prema fizičkim karakteristikama, još sličnije krvnim sudovima i merenja sa fluidima različile viskoznosti.

Vrednosti brzine po najvećem prečnom preseku prosiranja: Vsr - izmerena srednja vrednost brzine; Vsrk - korigovana vrednost srednje brzine; n=1 - raspodela brzine prema Poiseille-evom zakonu



Merenja sve tri komponente brzine strujanja, obezbedio bi određivanje vektora brzine, odnosno pravu sliku vektora brzine. U tu svrhu je neophodno koristiti 3D LDA sistem (ili, u najmanju ruku 2D LDA za osnosimetrično profile cevi).

Poseban pažnji treba obratiti na generatore šuma i njihove uticajee na rezultate.

LITERATURA

- [1] B.S. Rinkevičius, *Lazernair anemometrija*, Moskva: Energijska, 1978.
- [2] B.M. Watrasiewicz, M.J. Rud, *Laser Doppler Measurements*, London-Boston: Butterworths, 1976.
- [3] F. Durst, A. Melling, J.H. Whitelaw, *Principles and Practice of Laser Doppler Anemometer*, London: Academic Press Inc., 1976.
- [4] A.C. Guyton, *Medicinska fiziologija*, Beograd-Zagreb: Medicinska knjiga 1990.
- [5] DISA, *Laser Doppler Anemometer*, katalog.
- [6] S. Ristić, J. Ilić, "Merenje brzine strujanja u modelima krvnih sudova pomoću 1D LDA", *Zbornik radova ETRAN 1995.*, 171-178.
- [7] M.H. Koelink et al., "Laser Doppler blood flowmetry using two wavelengths: Monte Carlo simulations and measurements", *App. Opt.* Vol.33, No.16, 1 June 1994., 3549-3555.
- [8] S. Ristić, M. Šrećković, J. Ilić, S. Arandelić, "Laser Doppler Flow Velocity Measurement in Normal and Pathological Blood Vessel Models", *Proc. of the International Conference on Lasers 95.*
- [9] J. Gardavsky, J. Hrbek, Z. Charo, M. Severa, "Refraction Correction for LDA Measurements in Circular Tubes within Rectangular Optical Boxes", *Dantec Information*, Nov 1989., 2-5.

Abstract - The paper considers experimentally and theoretically the application of the LDA measurement to various blood vessels models. The parameters of the fluid flow were determined which through the similarity theory could be applied in researches and diagnostic of the disease of blood vessels or in the creation of artificial ones.

THE DETERMINATION OF FLUID FLOW PARAMETERS IN THE BLOOD VESSEL MODELS OF A VARIOUS SHAPE

Slavica Ristić, Jelena Ilić, Miša Mladenović